

# MÔ HÌNH ĐỘNG LỰC HỌC CỦA XUỒNG CHỮA CHÁY RỪNG TRÀM KHI QUAY VÒNG

Dương Văn Tài<sup>1</sup>, Nguyễn Thái Văn<sup>2</sup>

<sup>1</sup>Trường Đại học Lâm Nghiệp

<sup>2</sup>Trường Đại học Sư phạm Kỹ thuật Vĩnh Long

## TÓM TẮT

Xuồng chữa cháy rừng Tràm khi chuyển động quay vòng rẽ sang kênh vuông góc chịu tác động bởi nhiều ngoại lực dẫn đến xuồng có thể bị mất ổn định (lật). Bài báo này giới thiệu kết quả xây dựng phương trình động lực học khi xuồng quay vòng, rẽ sang kênh vuông góc. Kết quả thiết lập hệ phương trình vi phân chuyển động quay vòng bao gồm: biểu thức động năng của hệ, thế năng của hệ, biểu thức lực suy rộng của hệ. Từ hệ phương trình vi phân lập được, làm cơ sở khoa học cho việc xác định các thông số hợp lý của xuồng đáp ứng yêu cầu ổn định khi quay vòng.

**Từ khóa:** Động lực học, rừng Tràm, xuồng chữa cháy.

## I. ĐẶT VẤN ĐỀ

Ở Việt Nam hàng năm vẫn xảy ra hàng chục vụ cháy rừng Tràm, đã làm mất hàng trăm ha rừng Tràm, thiệt hại về kinh tế hàng trăm tỷ đồng, ảnh hưởng xấu đến môi trường sinh thái. Hiện nay thiết bị chữa cháy rừng tràm còn hạn chế, chủ yếu là dùng máy bơm nước cố định nên hiệu quả chữa cháy rừng rất thấp.

Phương pháp chữa cháy rừng hiệu quả nhất hiện nay là sử dụng xuồng chữa cháy chuyên dùng để nhanh chóng tiếp cận đám cháy và phun nước dập lửa, từ đó việc cô lập và khống chế đám cháy được nhanh chóng và hiệu quả hơn.

Đề tài trọng điểm cấp nhà nước "Nghiên cứu công nghệ và thiết kế chế tạo các thiết bị chuyên dụng chữa cháy rừng", đã thiết kế chế tạo ra xuồng chữa cháy rừng tràm, trên xuồng có đặt máy bơm nước chuyên dùng chữa cháy. Kết quả thực nghiệm cho thấy năng suất và hiệu quả chữa cháy cao hơn các thiết bị hiện có. Tuy nhiên xuồng chữa cháy rừng tràm còn một số tồn tại đó là: khả năng mất ổn định khi xuồng quay vòng, rẽ vào kênh vuông góc.

Vì vậy việc nghiên cứu động lực học quay vòng của xuồng chữa cháy rừng tràm để đưa ra các giải pháp nâng cao tính ổn định chống lật của xuồng là rất cần thiết. Kết quả nghiên cứu

đã được ứng dụng để thiết kế chế tạo và hoàn thiện xuồng chữa cháy rừng Tràm.

## II. ĐỐI TƯỢNG, PHƯƠNG PHÁP NGHIÊN CỨU

### 2.1. Đối tượng và thiết bị nghiên cứu

Đối tượng nghiên cứu là xuồng chữa cháy rừng Tràm do đề tài nghiên cứu khoa học cấp nhà nước mã số KC07.13/06-10 thiết kế chế tạo và hiện đang được sử dụng tại Vườn Quốc gia U Minh Thượng tỉnh Kiên Giang.

### 2.2. Phương pháp nghiên cứu

Phương pháp nghiên cứu được sử dụng là áp dụng lý thuyết cơ học hệ nhiều vật, lý thuyết tàu thủy để thiết lập mô hình động lực học và hệ phương trình vi phân động lực học quay vòng.

## III. KẾT QUẢ VÀ THẢO LUẬN

### 3.1. Mô hình cơ học chuyển động quay vòng của xuồng chữa cháy rừng

Quan sát thực tế ta thấy khi xuồng chữa cháy rừng quay vòng, nó chỉ chuyển động trong mặt phẳng nằm ngang, trong đó có 3 phần tử có thể coi là 3 vật rắn có chuyển động tương đối được với nhau. Đó là thân xuồng, bánh lái và trục chân vịt đẩy như hình 1.

Trong đó bánh lái được xoay đi một góc  $\theta_{30}$  nào đó so với vị trí ban đầu. Do áp lực của nước tác dụng vuông góc với bề mặt bánh lái,

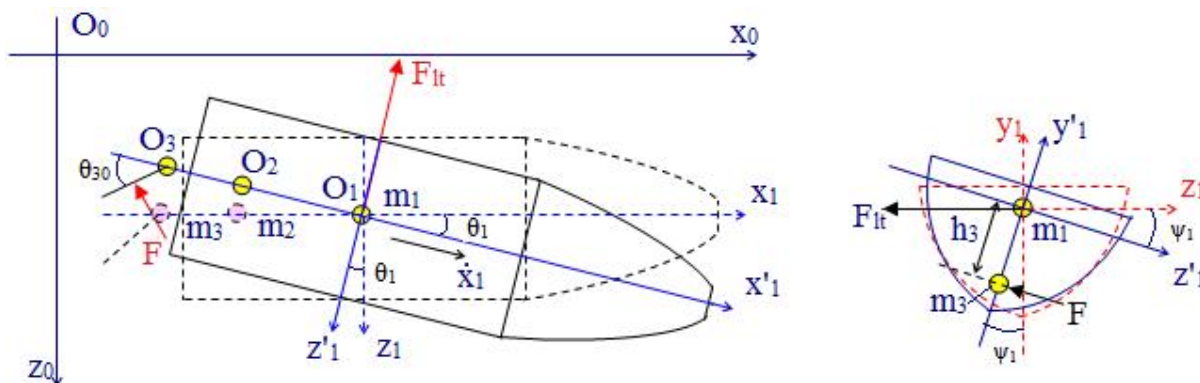
nên sẽ tạo ra mômen làm quay thân xuồng quanh các trục  $O_1y_1$ ,  $O_1x_1$  và dịch chuyển theo phương  $Oz_1$ . Các chế độ chuyển động này cũng sẽ thay đổi tùy thuộc vào giá trị  $\theta_{30}$  khác nhau. Trong trạng thái này có hệ gồm 3 vật rắn chuyển động là thân xuồng ( $O_1$ ), trục chân vịt ( $O_2$ ), và bánh lái ( $O_3$ ). Để lập mô hình cơ học ta công nhận một số giả thiết sau:

- Các trục chân vịt, trục bánh lái đều được gắn chặt với thân xuồng, chúng chỉ có chuyển động quay tương đối quanh các trục đó;
- Bánh lái được cố định ở một vị trí với góc lệch  $\theta_{30} = const$ ;
- Trục chân vịt đang quay với vận tốc góc không đổi  $\omega_2 = \dot{\varphi}_2 = const$ ;
- Lực cản của môi trường nước đối với các dịch chuyển được thu về tâm miền tiếp xúc giữa nước với thân xuồng và bánh lái, có độ

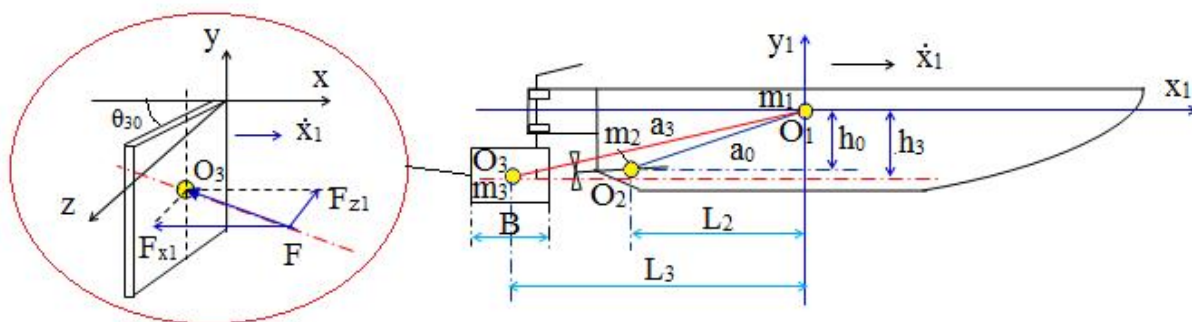
lớn tỉ lệ với bình phương vận tốc và diện tích cản trực diện - theo định luật sức cản khí động học.

Theo các giả thiết trên ta có mô hình cơ học được biểu diễn như trên hình 1 và hình 2.

- Các ký hiệu trên hình 1 và hình 2:
- $O_0x_0y_0$ : hệ trục cố định (quán tính);
  - $O_1x_1y_1$ : hệ trục động (gắn với khối tâm thân xuồng  $O_1$ );
  - $O_1, O_2, O_3$ : Tọa độ khối tâm thân xuồng, trục chân vịt và trục bánh lái;
  - $\theta_{30}$ : góc xoay tương đối của trục bánh lái, góc giữa mặt bánh lái với  $O_1x_1$ ;
  - $\theta_1$ : góc xoay của thân xuồng quanh trục thẳng đứng  $O_1y_1$ ;
  - $\psi_1$ : góc xoay của thân xuồng quanh trục dọc  $O_1x_1$ ;
  - $L_2, h_2, L_3, h_3$  – khoảng cách theo phương ngang và thẳng đứng từ  $O_1$  đến  $O_2$  và  $O_3$ ;



Hình 1. Mô hình dịch chuyển của xuồng CCR trong mặt phẳng nằm ngang



Hình 2. Sơ đồ xác định lực tác dụng lên xuồng chứa chày khi quay vòng

Gọi lực đặt vào tấm lái là  $\vec{F}$ , có cường độ là:  $F = k \cdot S_n \cdot v_n^2$  (1)

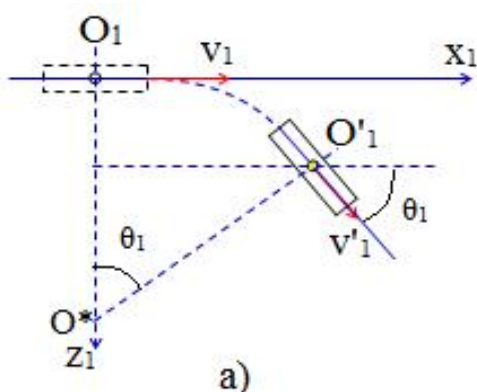
- Trong đó:
- $k$ : hệ số phụ thuộc vào nước;
  - $S_n$ : diện tích bề mặt tấm bánh lái;

-  $v_n$ : vận tốc trực diện của nước trên mặt tấm lái:

-  $v_n = (\dot{x}_1 + v_c) \sin \theta_{30}$  với  $\dot{x}_1$ : vận tốc tịnh tiến thân xuống theo phương x.

-  $v_c$ : vận tốc tịnh tiến của dòng nước do chân vịt đẩy,  $v_c = 3,45$  m/s

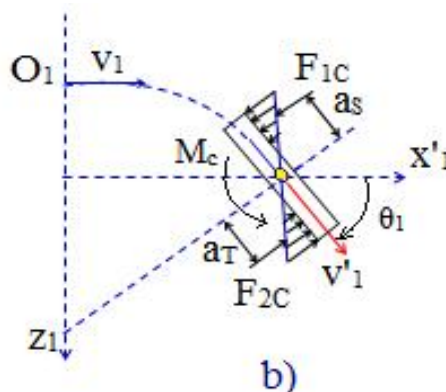
Thu gọn lực  $\vec{F}$  về tâm  $O_1$ , ta sẽ được các thành phần lực  $F_x, F_z$  và mô men  $M_x, M_y$  như trên hình 2. Trong đó:



$$\begin{cases} F_x = F \cdot \sin \theta_{30} = k \cdot S_n \cdot v_n^2 \cdot \sin \theta_{30} \\ F_z = F \cdot \cos \theta_{30} = k \cdot S_n \cdot v_n^2 \cdot \cos \theta_{30} \\ F_y = 0 \end{cases} \quad (2)$$

$$\begin{cases} M_x = h_3 F_z = h_3 k S_n v_n^2 \cos \theta_{30} \\ M_y = L_3 F_x = L_3 k S_n v_n^2 \sin \theta_{30} \\ M_z = h_3 F_z = h_3 k S_n v_n^2 \sin \theta_{30} \end{cases} \quad (3)$$

Khi xuống quay vòng do áp lực của nước lên mạn xuống phân bố không đều, thường có dạng hình tam giác như trên hình 3, nên gây ra mô men cản quay  $M_{by}$ .



Hình 3. Sơ đồ xác định các thông số động học và lực cản khi xuống quay vòng

Lực và mô men cản này có giá trị phụ thuộc chiều dài đoạn tiếp nước và vận tốc góc quay  $\dot{\theta}_1$

$$F_b = F_{bs} - F_{bt} = k \cdot S_s \cdot a_s^2 \cdot \dot{\theta}_1^2 - k \cdot S_T \cdot a_T^2 \cdot \dot{\theta}_1^2 = R_{bF} \cdot \dot{\theta}_1^2 \quad (4)$$

Trong đó:  $R_{bF}$  - Là hệ số cản quay vòng đối với

$$R_{bF} = (k \cdot S_s \cdot a_s^2 - k \cdot S_T \cdot a_T^2) \text{ và} \\ R_{Mby} = (k \cdot S_s \cdot a_s^3 + k \cdot S_T \cdot a_T^3) \quad (5)$$

-  $S_T$ : diện tích phần thành xuống tiếp xúc với nước ở phía trước;

-  $S_s$ : diện tích phần thành xuống tiếp xúc với nước ở phía sau;

-  $a_T$  khoảng cách từ tâm tiết diện  $S_T$  tới trọng tâm thân xuống;

-  $a_s$ : khoảng cách từ tâm tiết diện  $S_s$  tới trọng tâm thân xuống;

- Các hệ số  $R_{bF}$  và  $R_{Mby}$  sẽ được xác định thông qua nghiên cứu thực nghiệm tại hiện trường.

Lực cản bên  $F_b$  có hai thành phần theo các trục Ox và Oz là:

$$F_{bx} = F_b \cdot \sin \theta_1 = R_{bF} \cdot \dot{\theta}_1^2 \cdot \sin \theta_1 \quad (6a)$$

$$F_{bz} = F_b \cdot \cos \theta_1 = R_{bF} \cdot \dot{\theta}_1^2 \cdot \cos \theta_1 \quad (6b)$$

Tương tự khi xuống xoay quanh trục dọc (ngiêng ngang) cũng sẽ có mô men cản  $M_{bx}$  với hệ số cản nghiêng  $R_{bx}$

$$M_{bx} = R_{bx} \cdot \psi_1^2 \quad (7)$$

### 3.2. Lập phương trình vi phân chuyển động quay vòng của xuống chữa cháy

Khi chuyển động quay vòng bánh lái được giữ ở vị trí có góc lệch  $\theta_{30} = const$ , nên cơ hệ gồm 2 vật rắn là thân xuống cùng bánh lái và trục chân vịt như hình 2.

Gọi các khối lượng của thân xuống và trục chân vịt là  $m_1$  và  $m_2$ , mô men quán tính khối lượng của chúng đối với các trục tương ứng là  $I_{1x}, I_{1y}, I_{1z}$  và  $I_2$ . Trong mặt phẳng nằm ngang hệ có 8 thông số định vị là các dịch chuyển dài  $(x_i, z_i)$  và các dịch chuyển góc  $(\psi_i, \theta_i)$  xoay quanh các trục Ox và Oy,  $(i=1, 2)$ .

Trong đó trục chân vịt có chuyển động tương đối, quay quanh các ổ trục gắn với thân xuồng với góc  $\varphi_2$ . Theo hình 1 và 2 ta có các liên kết sau:

$$\begin{cases} \theta_2 = \theta_1 \\ x_2 = x_1 - L_2 \cdot \cos \theta_1 \\ z_2 = z_1 - h_0 \cdot \sin \psi_1 \end{cases} \quad (8)$$

Trong đó,

$$\text{đặt: } L_2 = a_0 \cos \alpha_0; \quad h_0 = a_0 \sin \alpha_0$$

Vậy hệ có 5 bậc tự do, ta chọn các tọa độ suy rộng đủ cho hệ này là :

$$q(x_1, z_1, \psi_1, \theta_1, \varphi_2) \quad (9)$$

Véc tơ tọa độ khối tâm khâu 1 (gồm thân xuồng và các thiết bị gắn cứng trên đó), tọa độ khối tâm khâu 2 (gồm trục chân vịt và chân vịt):

$$\begin{aligned} r_1 &= \begin{bmatrix} x_1 \\ y_1 \\ z_1 \end{bmatrix}; \\ r_2 &= \begin{bmatrix} x_2 \\ y_2 \\ z_2 \end{bmatrix} = \begin{bmatrix} x_1 - L_2 \cos \theta_1 \\ 0 \\ z_1 - h_0 \sin \psi_1 \end{bmatrix} \end{aligned} \quad (10)$$

Từ (10) ta tính được các ma trận Jacobi tịnh tiến:

$$J_{T1} = \begin{bmatrix} 1 & 0 & 0 & 0 & 0 \\ 0 & 0 & 0 & 0 & 0 \\ 0 & 1 & 0 & 0 & 0 \end{bmatrix};$$

Tính ma trận khối lượng:

$$M = J_{T1}^T m_1 J_{T1} + J_{T2}^T m_2 J_{T2} + J_{R1}^T I_1 J_{R1} + J_{R2}^T I_2 J_{R2} \quad (15)$$

$$M = \begin{bmatrix} (m_1 + m_2) & 0 & 0 & m_2 L_2 \sin \theta_1 & 0 \\ 0 & (m_1 + m_2) & -m_2 h_0 \cos \psi_1 & 0 & 0 \\ 0 & -m_2 h_0 \cos \psi_1 & (I_{1x} + I_2 + m_2 h_0^2 \cos^2 \psi_1) & 0 & I_2 \sin \alpha_{30} \\ m_2 L_2 \sin \theta_1 & 0 & 0 & (I_{1x} + I_2 + m_2 h_0^2 \cos^2 \psi_1) & -I_2 \sin \alpha_{30} \\ 0 & 0 & -I_2 \cos \alpha_{30} & -I_2 \sin \alpha_{30} & I_2 \end{bmatrix}$$

$$\text{*Động năng của hệ: } T = \frac{1}{2} \dot{q}^T M \dot{q} \quad (16)$$

$$T = \frac{1}{2} \left[ \begin{aligned} &(m_1 + m_2) \dot{x}_1^2 + (2m_2 L_2 \sin \theta_1) \dot{x}_1 \dot{\theta}_1 + \\ &+(m_1 + m_2) \dot{z}_1^2 - (2m_2 h_0 \cos \psi_1) \dot{z}_1 \dot{\psi}_1 + \\ &+(m_2 h_0^2 \cos^2 \psi_1 + I_{1x} + I_2) \dot{\psi}_1^2 - (2I_2 \cos \alpha_{20}) \dot{\psi}_1 \dot{\varphi}_2 + \\ &+(m_2 L_2^2 \sin^2 \theta_1 + I_{1y} + I_2) \dot{\theta}_1^2 - (2I_2 \sin \alpha_{20}) \dot{\theta}_1 \dot{\varphi}_2 + \\ &+ I_2 \dot{\varphi}_2^2. \end{aligned} \right] \quad (17)$$

$$J_{T2} = \begin{bmatrix} 1 & 0 & 0 & L_2 \sin \theta_1 & 0 \\ 0 & 0 & 0 & 0 & 0 \\ 0 & 1 & -h_0 \cos \psi_1 & 0 & 0 \end{bmatrix} \quad (11)$$

Véc tơ vận tốc góc các khâu

$$\omega_1 = \begin{bmatrix} \omega_{1x} \\ \omega_{1y} \\ \omega_{1z} \end{bmatrix} = \begin{bmatrix} \dot{\psi}_1 \\ \dot{\theta}_1 \\ 0 \end{bmatrix};$$

$$\omega_1 = \begin{bmatrix} \dot{\psi}_1 + \dot{\varphi}_2 \cos \alpha_{30} \\ \dot{\theta}_1 - \dot{\varphi}_2 \sin \alpha_{30} \\ 0 \end{bmatrix} \quad (12)$$

Ở đây  $\dot{\varphi}_2$  và  $\alpha_0$  là vận tốc góc quay của trục chân vịt và góc hợp giữa  $O_1 O_2$  với  $O_1 x_1$ .

Các ma trận Jacobi quay

$$\begin{aligned} J_{r1} &= \frac{\partial \omega_1}{\partial \dot{q}} = \begin{bmatrix} 0 & 0 & 1 & 0 & 0 \\ 0 & 0 & 0 & 1 & 0 \\ 0 & 1 & 0 & 0 & 0 \end{bmatrix}; \\ J_{r2} &= \frac{\partial \omega_2}{\partial \dot{q}} = \begin{bmatrix} 0 & 0 & 1 & 0 & -\cos \alpha_{30} \\ 0 & 0 & 0 & 0 & -\sin \alpha_{30} \\ 0 & 0 & 0 & 0 & 0 \end{bmatrix} \end{aligned} \quad (13)$$

Các ma trận mô men quán tính khối lượng

$$\begin{aligned} I_{C1} &= \begin{bmatrix} 0 & 0 & I_{1x} & 0 & 0 \\ 0 & 0 & 0 & I_{1x} & 0 \\ 0 & 0 & 0 & 0 & 0 \end{bmatrix}; \\ I_{C2} &= \begin{bmatrix} 0 & 0 & 0 & 0 & 0 \\ 0 & 0 & 0 & 0 & 0 \\ 0 & 0 & 0 & 0 & I_2 \end{bmatrix} \end{aligned} \quad (14)$$

\* Thế năng của hệ  
Thế năng của lực trọng trường với gốc tọa độ là vị trí cân bằng nằm ngang, ta có:

$$\pi(mg) = m_1gy_1 + m_2gy_2 = 0$$

\* Lực suy rộng của hệ  
Các ngoại lực tác dụng khi xuồng chuyển động quay vòng trên mặt nước là lực cản của

$$\delta A = (X_C - F_{bX} - F_X)\delta x_1 + (F_Z - F_{bZ})\delta z_1 + (M_X - M_{bX})\delta\psi_1 + (M_Y - M_{bY})\delta\theta_1 + M_{dc}\delta\varphi_2 = 0 \quad (18)$$

Các di chuyển khả dĩ  $\delta x_1, \delta z_1, \delta y_1, \delta\psi_1, \delta\theta_1, \delta\varphi_2$  độc lập, ta nhận được:

$$\left. \begin{aligned} Q_{x_1}^* &= X_C - F_{bX} - F_X; & Q_{z_1}^* &= Z_C - F_Z - F_{bZ}; \\ Q_{\psi_1}^* &= M_X - M_{bX}; & Q_{\theta_1}^* &= M_Y - M_{bY}; & Q_{\varphi_2}^* &= M_{dc}. \end{aligned} \right\} \quad (19)$$

Trong đó:

-  $X_C$ : là các thành phần lực đẩy của chân vịt ( $X_q$ ) theo phương  $Ox$ ;

-  $Z_C$ : là các thành phần lực đẩy của chân vịt ( $X_q$ ) theo phương  $Oz$ ;

Giá trị của  $X_q$  phụ thuộc tốc độ quay của trục chân vịt ( $\dot{\varphi}_2$ ) và được xác định bằng

nước đặt tại tâm miền tiếp xúc của nước với thân xuồng và lực tại vị trí tâm bánh lái  $O_3$ . Chúng được xác định theo các biểu thức (4)÷(6a), (6b).

Để xác định các thành phần của lực suy rộng, ta tìm biểu thức công nguyên tố trong di chuyển khả dĩ của hệ:

thực nghiệm;

- Các thành phần  $F_X, F_Z, M_X, M_Y$  và  $F_{bX}, F_{bZ}, M_{bX}, M_{bY}$  được xác định theo (3) ÷ (7);

Thế các biểu thức trên vào phương trình Lagranger loại II ta được phương trình vi phân chuyển động quay vòng của xuồng chữa cháy rừng trong mặt phẳng nằm ngang:

$$\left\{ \begin{aligned} (m_1 + m_2)\ddot{x}_1 + (m_2L_2 \cdot \sin \theta_1)\ddot{\theta}_1 + (m_2L_2 \cdot \cos \theta_1)\dot{\theta}_1^2 &= Q_{x_1}^*; \\ (m_1 + m_2)\ddot{z}_1 - (m_2h_2 \cdot \cos \psi_1)\ddot{\psi}_1 + (m_2h_2 \cdot \sin \psi_1)\dot{\psi}_1^2 &= Q_{z_1}^*; \\ (m_2h_0^2 \cdot \cos^2 \psi_1 + I_{1X} + I_2)\ddot{\psi}_1 - (m_2h_0 \cdot \cos \psi_1)\dot{\psi}_1^2 &= Q_{\psi_1}^* \\ (m_2L_2^2 \cdot \sin^2 \theta_1 + I_{1Z} + I_2)\ddot{\theta}_1 - (m_2L_2 \sin \theta_1)\dot{\theta}_1^2 &= Q_{\theta_1}^* \end{aligned} \right. \quad (20)$$

Sau khi đưa các biểu thức  $Q_{x_1}^*, Q_{z_1}^*, Q_{\psi_1}^*$ , vào (20), ta có hệ phương trình (21) như sau:

$Q_{\theta_1}^*, Q_{\varphi_2}^*$  từ (8), và các biểu thức từ (3)÷(7)

$$\left\{ \begin{aligned} k \cdot S_n \cdot \dot{x}_1^2 \sin^2 \theta_{30} \cos \theta_{30} + (m_2h_0 \sin \psi_1)\dot{\psi}_1^2 + R_{CF}\dot{\theta}_1^2 \cos \theta_1 &= 0 \end{aligned} \right. \quad (21a)$$

$$\left\{ \begin{aligned} (m_1 + m_2)\ddot{z}_1 + (m_1h_0 \cos \psi_1)\ddot{\psi}_1 \\ + k \cdot S_n \cdot \dot{x}_1^2 \sin^2 \theta_{30} \cos \theta_{30} + (m_2h_0 \sin \psi_1)\dot{\psi}_1^2 + R_{CF}\dot{\theta}_1^2 \cos \theta_1 &= 0 \end{aligned} \right. \quad (21b)$$

$$\left\{ \begin{aligned} (m_2h_0^2 \cos^2 \psi_1 + I_{1X} + I_2)\ddot{\psi}_1 \\ + (m_2h_0 \cos \psi_1)\dot{\psi}_1^2 - h_3 \cdot k \cdot S_n \cdot \dot{x}_1^2 \sin^2 \theta_1 \cos \theta_1 + R_{CMX}\dot{\psi}_1^2 &= 0 \end{aligned} \right. \quad (21c)$$

$$\left\{ \begin{aligned} (m_2L_2^2 \cos^2 \theta_1 + I_{1Y} + I_2)\ddot{\theta}_1 \\ + (m_2L_2 \sin \theta_1)\dot{\theta}_1^2 - L_3 \cdot k \cdot S_n \cdot \dot{x}_1^2 \sin^3 \theta_{30} + R_{CMY}\dot{\theta}_1^2 &= 0 \end{aligned} \right. \quad (21d)$$

**Nhận xét:**

- Mô hình chuyển động quay vòng của xuồng chữa cháy rừng là hệ có 3 vật rắn di chuyển trong mặt phẳng nằm ngang được biểu diễn trên hình 1 với các sơ đồ lực tác dụng và

quan hệ động học như hình 2 và 3.

- Phương trình vi phân chuyển động quay vòng của xuồng (21) là hệ phương trình vi phân phi tuyến, không thuần nhất có các hệ số phụ thuộc vào các thông số kết cấu bao gồm

diện tích mặt cắt ngang  $S_n$ , chiều cao tọa độ trong tâm  $h_0$  và  $h_3$ , khoảng cách trong mặt phẳng nằm ngang từ tọa độ trong tâm của xuồng đến tâm trục chân vịt và tâm bánh lái  $L_2, L_3$  và các đại lượng động lực học của hệ bao gồm vận tốc chuyển động của xuồng, góc đánh lái.

- Để có cơ sở cải tiến kết cấu cho xuồng hoặc xác định chế độ quay vòng hợp lý chúng ta phải tiến hành khảo sát hệ phương trình động lực học đã lập ở trên, việc khảo sát hệ phương trình vi phân (21) theo phương pháp số hoặc sử dụng các phần mềm chuyên dùng.

#### **IV. KẾT LUẬN**

Từ cấu tạo và nguyên lý làm việc của xuồng chữa cháy rừng trầm, đã xây dựng mô hình

động lực học quay vòng, từ đó đã thiết lập được phương trình vi phân chuyển động quay vòng gồm: biểu thức động năng và thế năng của hệ, biểu thức hàm hao tán và biểu thức lực suy rộng của hệ. Những kết quả nghiên cứu này đã được áp dụng trong tính toán thiết kế và hoàn thiện xuồng chữa cháy rừng Trầm.

#### **TÀI LIỆU THAM KHẢO**

1. Nguyễn Văn Khang (2007). *Cơ học hệ nhiều vật*. Nxb. Khoa học và Kỹ thuật, Hà Nội.
2. Lê Thanh Tùng, Lương Ngọc Lợi. *Lý thuyết tàu thủy*. Nxb. Bách Khoa – Hà Nội.
3. Dương Văn Tài (2010). *Báo cáo kết quả đề tài trọng điểm cấp nhà nước*, "Nghiên cứu công nghệ và thiết kế chế tạo các thiết bị chuyên dụng chữa cháy rừng" mã số KC07.13/06-10. Cục thông tin khoa học & công nghệ quốc gia, Hà Nội.

## **MODEDLING DYNAMIC OF CURVE MOTION OF SPECISL BOAT FOR FIRE FIGHTING IN WETLAND FOREST**

**Duong Van Tai, Nguyen Thai Van**

### **SUMMARY**

When boat operates in state of curve motion, it is affected by many external forces that can cause the boat lost stability (flip). This paper introduces the results of establishing motion dynamics equations of boat in this state. The result establishes dynamics equations include: kinetic energy, potential energy, generalized force. Base the differential equations is established, it is the scientific basis for determining the reasonable parameters in order response to the stability requirements in state curve motion of the boat.

**Keywords: Dynamics, fire boat, wetland forest.**

**Người phản biện** : GS.TS. Phạm Văn Lang  
**Ngày nhận bài** : 22/6/2016  
**Ngày phản biện** : 15/7/2016  
**Ngày quyết định đăng** : 25/7/2016